# Equazioni differenziali ordinarie

#### Alvise Sommariya

Università degli Studi di Padova Dipartimento di Matematica

16 maggio 2018

# Problema di Cauchy

### Problema di Cauchy )

Si determini la funzione y tale che

$$\begin{cases} y'(x) = f(x, y(x)), & x \ge x_0 \\ y(x_0) = y_0 \end{cases}$$
 (1)

dove f è a valori in  $\mathbb{R}^n$  e definita in un sottoinsieme  $\Omega$  di  $\mathbb{R} \times \mathbb{R}^n$ , con  $(x_0, y_0) \in \Omega$ .

#### Nota.

Di seguito supporremo che tale problema abbia una sola soluzione.

## Esempi

### Esempio (Equazione differenziale ordinaria)

$$\begin{cases} y'(x) = y(x), & x \ge 0 \\ y(0) = 1 \end{cases}$$
 (2)

la cui soluzione è  $\exp(x)$ , è un problema di Cauchy con f(x, y(x)) = y(x).

## Esempio (Sistema di equazioni differenziali ordinarie)

$$\begin{cases} y'_1(x) = -y_2(x), & x \ge 0 \\ y'_2(x) = y_1(x), & x \ge 0 \\ y_1(0) = 1, y_2(0) = 0 \end{cases}$$
 (3)

la cui soluzione è  $y(x) = (y_1(x), y_2(x)) = (\cos(x), \sin(x))$ , è un problema di Cauchy con  $y = (y_1, y_2)$ ,  $x_0 = 0$ ,  $y(x_0) = (1, 0)$  e

$$f(x, y(x)) = f(x, y_1(x), y_2(x)) = (-y_2(x), y_1(x)).$$

Alvise Sommariva

Introduzione

3/80

### Teorema (Teorema di Picard-Lindelöf)

Sia  $D=[t_0-arepsilon,t_0+arepsilon] imes\mathbb{R}$ . Dato il problema ai valori iniziali

$$\begin{cases} y'(t) = f(t, y(t)), \ t \in [t_0 - \varepsilon, t_0 + \varepsilon] \\ y(t_0) = y_0 \end{cases}$$

se  $f:D\to\mathbb{R}$  è una funzione lipschitziana in y cioè

$$|f(t, \mathbf{y_1}) - f(t, \mathbf{y_2})| \le K ||\mathbf{y_1} - \mathbf{y_2}||, (t, \mathbf{y_1}), (t, \mathbf{y_2}) \in D$$

ed è continua in t allora per qualche  $\varepsilon > 0$ , allora esiste un'unica soluzione y al problema ai valori iniziali sull'intervallo  $[t_0 - \varepsilon, t_0 + \varepsilon]$ .

## Teorema (Cauchy in piccolo, [2, p.7])

### Si supponga che

- *D* sia un aperto connesso di  $\mathbb{R} \times \mathbb{R}^n$ ;
- $f: D \to \mathbb{R}$  sia una funzione continua in D;
- $(t_0, y_0)$  un punto interno a D;
- la funzione f verifichi la condizione di Lipschitz

$$||f(t, \mathbf{y_1}) - f(t, \mathbf{y_2})|| \le K ||\mathbf{y_1} - \mathbf{y_2}||, (t, \mathbf{y_1}), (t, \mathbf{y_2}) \in D.$$

per qualche  $K \geq 0$ .

Allora esiste un unica funzione **y** definita su un intervallo  $[t_0 - \alpha, t_0 + \alpha]$ , per qualche  $\alpha > 0$  tale che

$$\begin{cases}
\mathbf{y}'(t) = f(t, \mathbf{y}(t)), \ t \in [t_0 - \alpha, t_0 + \alpha] \\
\mathbf{y}(t_0) = \mathbf{y_0}
\end{cases}$$
(4)

## Teorema (Cauchy in grande, [4, p.331])

Sia  $f:[a,b]\times\mathbb{R}^n\to\mathbb{R}$  tale che

- $f(t, \mathbf{y})$ ,  $t \in [a, b]$ ,  $\mathbf{y} \in \mathbb{R}^n$  continua nella prima variabile,
- soddisfi rispetto alla seconda variabile la condizione di Lipschitz

$$||f(t, \mathbf{y_1}) - f(t, \mathbf{y_2})|| \le K||\mathbf{y_1} - \mathbf{y_2}||, t \in [a, b], \mathbf{y_1}, \mathbf{y_2} \in \mathbb{R}^n.$$

per qualche norma vettoriale  $\|\cdot\|$  e  $K \ge 0$ .

Allora il problema di Cauchy

$$\begin{cases} \mathbf{y}'(t) = f(t, \mathbf{y}(t)), \ t \in [a, b] \\ \mathbf{y}(a) = \mathbf{y_0} \end{cases}$$
 (5)

ha una e una sola soluzione y in [a, b], per un arbitrario  $y_0 \in \mathbb{R}^n$ .

#### Nota.

- Nel teorema di Cauchy in piccolo si fornisce un teorema di esistenza e unicità locale.
- Nel teorema di Cauchy in grande si fornisce un teorema di esistenza e unicità globale.

#### Nota. (Soluzioni multiple)

Esistono casi in cui il problema di Cauchy ha soluzioni multiple. Ad esempio, il problema

$$\begin{cases} y'(x) = 2\sqrt{y(x)}, \ x > 0\\ y(x_0) = 0 \end{cases}$$
 (6)

ha per soluzioni, per  $\alpha \in \mathbb{R}^+$ 

$$y(x) = \begin{cases} y(x) = (x - \alpha)^2, x \ge \alpha \\ y(x) = 0, \text{ altrimenti.} \end{cases}$$
 (7)

Alvise Sommariva

## Metodo di Eulero esplicito

Indichiamo con  $\mathcal{I}(x,\overline{x})$  il più piccolo intervallo aperto contenente x e  $\overline{x}$  (cioè  $(x,\overline{x})$  oppure  $(\overline{x},x)$ ). Assumendo che la soluzione sia sufficientemente regolare, abbiamo dalla formula di Taylor per  $x \approx \overline{x}, \ \xi \in \mathcal{I}(x,\overline{x})$  e (1)

$$y(x) = y(\overline{x}) + y'(\overline{x})(x - \overline{x}) + \frac{y''(\xi)(x - \overline{x})^2}{2}$$
  

$$\approx y(\overline{x}) + y'(\overline{x})(x - \overline{x}) = y(\overline{x}) + f(\overline{x}, y(\overline{x}))(x - \overline{x})$$
(8)

cioè

$$y(x) \approx y(\overline{x}) + f(\overline{x}, y(\overline{x}))(x - \overline{x})$$

Di conseguenza se si desidera calcolare la soluzione nei punti

$$x_{k+1} = x_0 + kh = x_k + h \text{ con } k > 0, \text{ ponendo } x = x_{k+1}, \overline{x} = x_k$$

$$y(x_{k+1}) \approx y(x_k) + h \cdot f(x_k, y(x_k)). \tag{9}$$

# Metodo di Eulero esplicito

### Metodo (Eulero esplicito, 1768-1770)

Tale metodo consiste nell'approssimare  $y(x_{k+1})$  con  $u_{k+1}$  dove

$$u_{k+1} = u_k + h \cdot f(x_k, u_k), \ u_0 = y(x_0),$$
 (10)

ove  $h = x_{k+1} - x_k$ .

### Teorema (Errore Eulero esplicito)

Se l'unica soluzione y del problema di Cauchy in [a,b] è sufficientemente regolare in  $[x_k,x_{k+1}] \subseteq [a,b]$  e  $u_k = y(x_k)$  allora

$$y(x_{k+1}) - u_{k+1} = \frac{y''(\xi)(x_{k+1} - x_k)^2}{2}$$
 (11)

per qualche  $\xi \in (x_k, x_{k+1})$ .

## Metodo di Eulero esplicito

#### Dimostrazione.

Essendo

$$y(x_{k+1}) = y(x_k) + y'(x_k)(x - x_k) + \frac{y''(\xi)(x_{k+1} - x_k)^2}{2}$$

 $da u_k = y(x_k)$  otteniamo

$$u_{k+1} = u_k + h \cdot f(x_k, u_k) = u_k + h \cdot f(x_k, y(x_k))$$
  
=  $y(x_k) + y'(x_k)(x_{k+1} - x_k),$ 

e quindi si ha per qualche  $\xi$  in  $(x_k, x_{k+1})$ 

$$y(x_{k+1}) - u_{k+1} = y(x_k) + y'(x_k)(x_{k+1} - x_k) + \frac{y''(\xi)(x_{k+1} - x_k)^2}{2}$$

$$- (y(x_k) + y'(x_k)(x_{k+1} - x_k))$$

$$= \frac{y''(\xi)(x_{k+1} - x_k)^2}{2}.$$



## Metodo di Eulero implicito

Similmente al caso di Eulero esplicito, da

$$y(x) \approx y(\overline{x}) + f(\overline{x}, y(\overline{x}))(x - \overline{x})$$

se poniamo  $x=x_k$ ,  $\overline{x}=x_{k+1}$  abbiamo

$$y(x_k) \approx y(x_{k+1}) + f(x_{k+1}, y(x_{k+1}))(x_k - x_{k+1}),$$
 (12)

e quindi

$$y(x_{k+1}) \approx y(x_k) + h \cdot f(x_{k+1}, y(x_{k+1})).$$
 (13)

## Metodo (Metodo di Eulero implicito )

Tale metodo consiste nell'approssimare  $y(x_{k+1})$  con  $u_{k+1}$  definito da

$$|u_{k+1} = u_k + h \cdot f(x_{k+1}, u_{k+1}), u_0 = y(x_0)|$$
 (14)

# Eulero implicito

### Nota. (Risoluzione equazioni nonlineari)

Evidentemente ad ogni iterazione si richiede di risolvere un'equazione nonlineare nella variabile z del tipo

$$z = u_k + h \cdot f(x_{k+1}, z)$$

la cui soluzione può essere calcolata utilizzando ad esempio

- col metodo di Newton o
- del punto fisso o
- delle secanti.

# Eulero implicito

#### Nota. (Errore Eulero implicito, facoltativo)

Osserviamo che per  $g \in C^1([a,b])$  abbiamo per qualche  $\xi \in (a,b)$ 

$$\int_{a}^{b} g(x)dx = (b-a)g(b) - g'(\xi)(b-a)^{2}/2$$

e quindi se  $y \in C^2(x_n, x_{n+1})$ 

$$y(x_{n+1}) = y(x_n) + \int_{x_n}^{x_{n+1}} y'(x) dx$$
  
=  $y(x_n) + (x_{n+1} - x_n)y'(x_{n+1}) - y''(\xi)(x_{n+1} - x_n)^2/2$   
=  $y(x_n) + (x_{n+1} - x_n)f(x_{n+1}, y(x_{n+1})) - y''(\xi)(x_{n+1} - x_n)^2/2.$ 

Con un ragionamento analogo a quello effettuato per Eulero esplicito, se  $u_{n+1} = u_n + hf(x_{n+1}, u_{n+1}), h = x_{n+1} - x_n$  e  $u_n = y(x_n)$  allora

$$y(x_{n+1}) - u_{n+1} = -y''(\xi)h^2/2, \ \xi \in (x_n, x_{n+1}).$$

## Osservazione

### Nota. (Metodi di Eulero e sistemi di equazioni differenziali)

Il problema di Cauchy è definito da

$$\begin{cases} y'(x) = f(x, y(x)), & x \ge x_0 \\ y(x_0) = y_0 \end{cases}$$
 (15)

dove  $f \ \ e$  a valori in  $\mathbb{R}^n$  e definita in un sottoinsieme  $\Omega$  di  $\mathbb{R} \times \mathbb{R}^n$ , con  $(x_0, y_0) \in \Omega$ .

Nei casi multivariati con n>1, indipendentemente dalla derivazione dovuta alla espansione di Taylor, i metodi

- Eulero esplicito:  $u_{k+1} = u_k + h \cdot f(x_k, u_k), u_0 = y(x_0)$
- Eulero implicito:  $u_{k+1} = u_k + h \cdot f(x_{k+1}, u_{k+1}), u_0 = y(x_0),$

possono essere utilizzati, in quanto la sequenza è ben definita.

## Linear Multistep Methods

## Definizione (Linear Multistep Methods )

Sono i metodi che approssimano  $y(x_k)$  con  $u_k$ , dove  $x_k = x_0 + kh$  e

$$u_{n+1} = \sum_{j=0}^{p} a_j u_{n-j} + h \sum_{j=-1}^{p} b_j f(x_{n-j}, u_{n-j})$$

#### Nota.

Si osservi che

- Sono metodi per cui se voglio calcolare  $u_{n+1}$  necessitano  $u_{n-p}, \ldots, u_n$  (si chiamano metodi a p+1 passi). Siccome inizialmente si dispone solo di  $u_0$ , per calcolare  $u_1, \ldots, u_p$ , necessari ad innescare il metodo, si utilizzano di solito altre strategie (come ad esempio applicare più volte metodi a un passo, cioè in cui p=0, come ad esempio Eulero implicito).
- Se  $b_{-1} = 0$  allora il metodo è esplicito, altrimenti è implicito.

Alvise Sommariva

#### Nota.

Osserviamo che il metodo di Eulero esplicito

$$u_{k+1} = u_k + h \cdot f(x_k, u_k)$$

e Eulero implicito

$$u_{k+1} = u_k + h \cdot f(x_{k+1}, u_{k+1})$$

hanno la forma

$$u_{n+1} = \sum_{j=0}^{p} a_j u_{n-j} + h \sum_{j=-1}^{p} b_j f(x_{n-j}, u_{n-j})$$

ponendo rispettivamente

- Eulero esplicito: p = 0,  $a_0 = 1$ ,  $b_{-1} = 0$ ,  $b_0 = 1$ ,
- Eulero implicito: p = 0,  $a_0 = 1$ ,  $b_{-1} = 1$ ,  $b_0 = 0$ .

## Definizione (Convergenza )

Supponiamo di analizzare il problema di Cauchy nell'intervallo compatto  $I = [x_0, x_{fin}]$ . Siano  $x_s = x_0 + sh_N$ , con  $Nh_N = x_{fin} - x_0$ ,

- $y^{(h_N)} = \{y(x_k)\}$  la soluzione esatta di un fissato problema di Cauchy,
- $u^{(h_N)} = \{u_k\}$  dove  $u_k$  è l'approssimazione di  $y(x_k)$  fornita nei punti  $x_k$  da un metodo numerico a p+1 passi.

Un metodo Linear Multistep a p+1 passi si dice convergente se qualora i passi iniziali  $u_0^{(h_N)}, \ldots, u_p^{(h_N)}$  sono tali che

$$\eta(h_N) = \max_{0 \le k \le p} |y_k^{(h_N)} - u_k^{(h_N)}| \to 0 \ per \ h_N \to 0$$

si ha che

$$||y^{(h_N)} - u^{(h_N)}||_{\infty} \to 0 \text{ per } h_N \to 0.$$

Se qualora  $\eta(h_N) \leq C_1 h^q$  implica  $\|y^{(h_N)} - u^{(h_N)}\|_{\infty} \leq C_2 h^q$ , con  $C_1$ ,  $C_2$  indipendenti da h, allora il metodo si dice convergente con ordine q.

# Esempio: Convergenza di Eulero esplicito

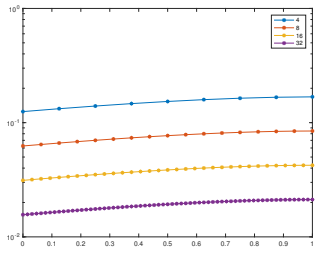


Figura: Si studia il problema di Cauchy y'=y in [0,1] con dato iniziale y(0)=1, avente soluzione  $y(x)=\exp(x)$ . Si applica il metodo di Eulero Esplicito  $u_{n+1}=u_n+hf(x_n,u_n)$  per approssimare la soluzione nei punti  $x_j=jh_k,\ j=0,\ldots,N_k$  ove  $h_k=1/N_k$ , con dato iniziale  $u_0=1+h$  per i valori  $N_k=2^{k-1}\cdot 10$ . In questo caso gli esperimenti mostrano che Eulero Esplicito sembra convergere.

## Esempio: Convergenza di Eulero esplicito

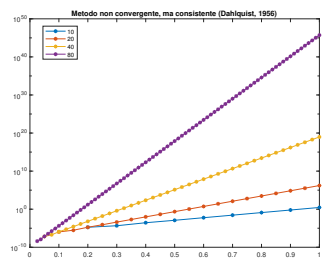


Figura: Si studia il problema di Cauchy y'=y in [0,1] con dato iniziale y(0)=1, avente soluzione  $y(x)=\exp(x)$ . Si applica il metodo consistente  $u_{n+2}=-4u_{n+1}+5u_n+h(f(x_{n+1},u_{n+1})+2f(x_n,u_n))$  per approssimare la soluzione nei punti  $x_j=jh_k,\ j=0,\ldots,N_k$  ove  $h_k=1/N_k$ , con dato iniziale  $u_0=1,\ u_1=\exp(h)$  per i valori  $N_k=2^{k-1}\cdot 10$ . In questo caso gli esperimenti mostrano che il metodo, suggerito quale esempio da Dahlquist nel 1956, non sembra convergere (anzi, al crescere di  $N_k$  diverge maggiormente).

### Definizione (Errori di troncamento, [2], p.112)

Se un metodo per la soluzione di problemi di Cauchy ha la forma

$$u_{n+1}=\sum_{j=0}^p a_ju_{n-j}+h\sum_{j=-1}^p b_jf(x_{n-j},u_{n-j})$$
 ove  $u_n\approx y(t_n)$ , y soluzione di (1) in  $t_n=x_0+nh$ , e sia

$$\tau_n(h) = \frac{1}{h} \cdot \left( y(x_{n+1}) - (\sum_{j=0}^p a_j y(x_{n-j}) + h \sum_{j=-1}^p b_j f(x_{n-j}, y(x_{n-j}))) \right).$$

- La quantità  $\tau_n(h)$  chiama errore locale di troncamento del metodo.
- La quantità  $\tau(h) = \max_{n=0,...} |\tau_n(h)|$  si chiama errore globale di troncamento del metodo.
- Un metodo per cui  $\tau(h)$  tende a 0, quando  $h \to 0$  si dice consistente.

#### Nota.

La consistenza rende conto di come la soluzione y del problema di Cauchy verifichi lo schema discreto del metodo linear multistep.

## Analisi convergenza: stabilità

### Definizione (Zero stabile, [6, p.332])

Un metodo numerico LMM si dice zero-stabile se qualsiasi siano le sequenze  $\{u_k^{(h_N)}\}$ ,  $\{v_k^{(h_N)}\}$  che sono state generate dal metodo con dati iniziali rispettivamente  $u_0^{(h_N)},\ldots,u_{p-1}^{(h_N)},v_0^{(h_N)},\ldots,v_{p-1}^{(h_N)}$ , abbiamo

$$|u_k^{(h_N)} - v_k^{(h_N)}| \le K \max_{s=0,\dots,p-1} (|u_s^{(h_N)} - v_s^{(h_N)}|)$$

per  $k = 0, ..., N_h$ ,  $h_N \le h^*$ , con K indipendente da h.

#### Nota.

Questo concetto di stabilità viene usualmente detto zero-stabilità in quanto può essere determinato considerando esclusivamente lo studio dell'equazione differenziale y'=0.

#### Nota.

In queste note ci interesseremo esclusivamente della convergenza e consistenza di metodi linear multistep, ma esistono definizioni che permettono l'analisi di altri metodi non rientranti in questa famiglia.

#### Nota.

In generale risulta tedioso studiare la stabilità dei LMM caso per caso. Risulta più semplice studiare la cosidetta root-condition che è un concetto equivalente. In particolare questa è verificata se e solo se il polinomio caratteristico  $\rho(z)=z^{p+1}-\sum_{k=0}^p a_k z^k \text{ ha tutte le radici nel disco } B(0,1)\subset \mathbb{C} \text{ e quelle in } \partial B(0,1) \text{ hanno molteplicità } 1.$ 

#### Nota.

Un teorema dovuto a Lax e Richtmyer (1956), mostra che un metodo è convergente se e solo se consistente e stabile.

Di seguito intendiamo mostrare, sotto opportune ipotesi, la convergenza del metodo di Eulero esplicito.

Consideriamo il metodo di Eulero esplicito, con  $x_n = x_0 + nh$  per un prefissato passo  $h = (x_{fin} - x_0)/N$ . Sia y soluzione del problema di Cauchy, e

$$\overline{u}_n = y(x_{n-1}) + h \cdot f(x_{n-1}, y(x_{n-1})),$$
  
 $u_n = u_{n-1} + h \cdot f(x_{n-1}, u_{n-1}).$ 

Osserviamo che

- la prima sequenza  $\overline{u}^{(h)} = {\overline{u}_n}$ , ha il generico  $\overline{u}_n$  ottenuto applicando il metodo di Eulero esplicito partendo dal valore assunto dalla soluzione y in ogni  $x_{n-1}$ ,
- la seconda sequenza  $u^{(h)} = \{u_n\}$ , ha il generico  $u_n$  ottenuto applicando il metodo di Eulero esplicito partendo dal valore assunto  $u_{n-1}$ , che a priori non coincide con  $y(x_{n-1})$ .

Da

$$e_n = y(x_n) - u_n = (y(x_n) - \overline{u}_n) + (\overline{u}_n - u_n)$$
 (16)

per la disuguaglianza triangolare

$$|e_n| \leq |y(x_n) - \overline{u}_n| + |\overline{u}_n - u_n|.$$

Alvise Sommariva

Introduzione

23/80

Analizziamo il primo termine  $|y(x_n) - \overline{u}_n|$ . Se la derivata seconda di y esiste ed è continua allora abbiamo per il teorema di Weierstrass

$$\max_{x \in [x_0, x_{fin}]} |y''(x)| \le M$$

e quindi per  $\xi_n \in (x_{n-1}, x_n)$ ,

$$|y(x_n) - \overline{u}_n| = (h^2/2) \cdot |y''(\xi_n)| \le Mh^2/2.$$

Di conseguenza,

$$h|\tau_n(h)|=\max_{n=0,\ldots,N}|y(x_n)-\overline{u}_n|\leq Mh^2/2.$$

Sketch della dimostrazione (supposto y suff. regolare e f continua e L-lipschitziana):

- $|e_n| \leq (1 + (1 + hL) + \ldots + (1 + hL)^{n-1})h|\tau(h)| + (1 + hL)^n|e_0|;$
- 2  $1 + (1 + hL) + \ldots + (1 + hL)^{n-1} \le \frac{\exp(L(x_{fin} x_0))}{hL},$  $(1 + hL)^n \le \exp(L(x_{fin} - x_0));$
- **3** conclusione perchè secondo membro infinitesimo per  $h \to 0$  visto che  $|\tau(h)| \le Mh^2/2$  e  $|e_0| \to 0$  per  $h \to 0$ .

Se f è L-Lipschitziana (rispetto al secondo argomento) allora

$$|f(x, y_1) - f(x, y_2)| \le L|y_1 - y_2|$$

e otteniamo, ricordando che  $e_n := y(x_n) - u_n$ ,

$$|\overline{u}_n-u_n|\leq (1+hL)|e_{n-1}|.$$

Infatti da

$$\overline{u}_n = y(x_{n-1}) + h \cdot f(x_{n-1}, y(x_{n-1})), \quad u_n = u_{n-1} + h \cdot f(x_{n-1}, u_{n-1})$$

ricaviamo dalla L-lipschitzianità

$$|\overline{u}_{n} - u_{n}| = |(y(x_{n-1}) + h \cdot f(x_{n-1}, y(x_{n-1}))) - (u_{n-1} + h \cdot f(x_{n-1}, u_{n-1}))|$$

$$= |(y(x_{n-1}) - u_{n-1}) + h \cdot (f(x_{n-1}, y(x_{n-1})) - f(x_{n-1}, u_{n-1}))|$$

$$\leq |y(x_{n-1}) - u_{n-1}| + h|f(x_{n-1}, y(x_{n-1})) - f(x_{n-1}, u_{n-1}))|$$

$$\leq |y(x_{n-1}) - u_{n-1}| + hL|y(x_{n-1}) - u_{n-1}| = (1 + hL)|y(x_{n-1}) - u_{n-1}|$$

$$= (1 + hL)e_{n-1}.$$
(17)

Da

$$\bullet e_n := y(x_n) - u_n = (y(x_n) - \overline{u}_n) + (\overline{u}_n - u_n),$$

$$|y(x_n) - \overline{u}_n| \le h|\tau(h)|,$$

$$|\overline{u}_n - u_n| \leq (1 + hL)|e_{n-1}|$$

si deduce

$$|e_{n}| = |(y(x_{n}) - \overline{u}_{n}) + (\overline{u}_{n} - u_{n})|$$

$$\leq |y(x_{n}) - \overline{u}_{n}| + |\overline{u}_{n} - u_{n}|$$

$$\leq h|\tau(h)| + (1 + hL)|e_{n-1}|$$
(18)

ovvero

$$|e_n| \le h|\tau(h)| + (1+hL)|e_{n-1}|.$$

### Quindi essendo

- $|e_0| \rightarrow 0 \text{ per } h \rightarrow 0$ ,
- $|e_n| \le h|\tau(h)| + (1+hL)|e_{n-1}|,$

#### ricaviamo

$$\begin{aligned} |e_{n}| & \leq & h|\tau(h)| + (1+hL)|e_{n-1}| \\ & \leq & h|\tau(h)| + (1+hL)(h|\tau(h)| + (1+hL)|e_{n-2}|) \\ & = & (1+(1+hL))h|\tau(h)| + (1+hL)^{2}|e_{n-2}| \\ & \leq & \dots \\ & \leq & (1+(1+hL)+\dots+(1+hL)^{n-1})h|\tau(h)| + (1+hL)^{n}|e_{0}| \end{aligned}$$

e cioè

$$|e_n| \le (1 + (1 + hL) + \ldots + (1 + hL)^{n-1})h|\tau(h)| + (1 + hL)^n|e_0|.$$

Ricordando che

$$1+s+\ldots+s^k=rac{(1-s^{k+1})}{(1-s)}$$

posto s = 1 + hL deduciamo che

$$1+(1+hL)+\ldots+(1+hL)^{n-1}=\frac{1-(1+hL)^n}{1-(1+hL)}=\frac{(1+hL)^n-1}{hL}.$$

Notiamo che per  $\gamma>0$ 

$$\exp\left(\gamma\right) = \sum_{k=0}^{\infty} \frac{\gamma^k}{k!} \ge \sum_{k=0}^{1} \frac{\gamma^k}{k!} = 1 + \gamma \tag{19}$$

e quindi  $(1+\gamma)^n \leq (\exp(\gamma))^n = \exp(n\gamma)$  implica che per  $\gamma = hL$  si ha essendo  $nh = x_n - x_0$ 

$$\left| (1+hL)^n \le \exp\left(nhL\right) = \exp\left(L(x_n-x_0)\right) \le \exp\left(L(x_{fin}-x_0)\right). \right|$$

Introduzione 29/80

Da

$$1 + (1 + hL) + \ldots + (1 + hL)^{n-1} = \frac{1 - (1 + hL)^n}{1 - (1 + hL)} = \frac{(1 + hL)^n - 1}{hL}$$

$$(1+hL)^n \leq \exp(L(x_{fin}-x_0)),$$

concludiamo che

$$1 + (1 + hL) + \ldots + (1 + hL)^{n-1} = \frac{(1 + hL)^n - 1}{hL} \le \frac{\exp(L(x_{fin} - x_0)) - 1}{hL}$$

$$\le \frac{\exp(L(x_{fin} - x_0))}{hL}$$
(20)

e quindi da  $| au(h)| \leq Mh^2/2$ 

$$\begin{array}{lcl} (1+(1+hL)+\ldots+(1+hL)^{n-1})h|\tau(h)| & \leq & \frac{\exp\left(L(x_{fin}-x_0)\right)}{hL}h|\tau(h)| \\ & = & \exp\left(L(x_{fin}-x_0)\right)|\tau(h)| \to 0. \end{array}$$

Di conseguenza da  $|\tau(h)| \le Mh/2$  (non è  $|\tau(h)| \le Mh^2/2$ )

$$|e_{n}| \leq (1 + (1 + hL) + \dots + (1 + hL)^{n-1})h|\tau(h)| + (1 + hL)^{n}|e_{0}|$$

$$\leq \exp(L(x_{fin} - x_{0}))|\tau(h)| + \exp(L(x_{fin} - x_{0}))|e_{0}|$$

$$\leq \exp(L(x_{fin} - x_{0}))\frac{Mh}{2} + \exp(L(x_{fin} - x_{0}))|e_{0}|$$
(21)

visto che il secondo membro non dipende da n ricaviamo

$$\max_{n=0,...,N} |e_n| \le \exp(L(x_{fin} - x_0)) \frac{Mh}{2} + \exp(L(x_{fin} - x_0)) |e_0|$$

e quindi il metodo di Eulero esplicito risulta convergente, visto che il secondo membro è infinitesimo. Si verifica subito che ha ordine 1.

Alvise Sommariva

Introduzione

31/80

Consideriamo il metodo di Eulero implicito

$$u_n = u_{n-1} + hf(t_n, u_n), u_0 = y_0.$$

Calcoliamo l'errore globale di troncamento. Se  $g \in C^2(a, b)$ ,

$$\int_a^b g(x)dx = (b-a)g(b) - (b-a)^2 g^{(1)}(\xi)/2, \, \xi \in (a,b)$$

e posto  $b = x_n$ ,  $a = x_{n-1}$ , b - a = h, se y è suff. regolare

$$y_n = y_{n-1} + \int_{x_{n-1}}^{x_n} y'(x) dx = y_{n-1} + hy'(x_n) - h^2 y''(\xi)/2$$
  
=  $y_{n-1} + hf(x_n, y_n) - h^2 y''(\xi)/2$  (22)

e quindi facilmente

$$\tau_n(h) = -(1/h) \cdot (h^2 y''(\xi)/2) = -hy''(\xi)/2.$$

Alvise Sommariva

Ricordiamo che  $y_n = y(t_n)$  è la soluzione del problema di Cauchy mentre

$$u_n = u_{n-1} + hf(t_n, u_n), u_0 = y_0.$$

Definiamo

$$\overline{u}_n := y_{n-1} + hf(t_n, \overline{u}_n), \ \overline{u}_0 = y_0.$$

Come in precedenza

$$y_n - u_n = (y_n - \overline{u}_n) + (\overline{u}_n - u_n)$$

e quindi per la disuguaglianza triangolare

$$|y_n-u_n|\leq |y_n-\overline{u}_n|+|\overline{u}_n-u_n|.$$

Studiamo separatamente i termini al secondo membro.

Osserviamo che

$$|u_n - \overline{u}_n| = |u_n - (y_{n-1} + hf(t_n, \overline{u}_n))| = h|\tau_n(h)|$$

Studiamo  $|\overline{u}_n - u_n|$  ricordando che  $e_0 = |y_0 - u_0| \to 0$ . Dalla lipschitzianità (rispetto la seconda variabile)

$$|\overline{u}_{n} - u_{n}| = |y_{n-1} + hf(t_{n}, \overline{u}_{n}) - u_{n-1} - hf(t_{n}, u_{n})|$$

$$= |y_{n-1} - u_{n-1} + hf(t_{n}, \overline{u}_{n}) - hf(t_{n}, u_{n})|$$

$$\leq |y_{n-1} - u_{n-1}| + h|f(t_{n}, \overline{u}_{n}) - f(t_{n}, u_{n})|$$

$$\leq |y_{n-1} - u_{n-1}| + hL|\overline{u}_{n} - u_{n}|$$
(23)

da cui facilmente per h sufficientemente piccolo, cosicchè 1-hL>0,

$$|\overline{u}_n - u_n| \leq \frac{|y_{n-1} - u_{n-1}|}{1 - hL}.$$

Da

$$|y_n - \overline{u}_n| = h^2 |y''(\xi)/2|,$$

$$|\overline{u}_n - u_n| \leq \frac{|y_{n-1} - u_{n-1}|}{1 - hL},$$

se  $||y''||_{\infty} \leq M$ 

$$|y_{n} - u_{n}| \leq |y_{n} - \overline{u}_{n}| + |\overline{u}_{n} - u_{n}|$$

$$\leq \frac{h^{2}|y''(\xi)|}{2} + \frac{|y_{n-1} - u_{n-1}|}{1 - hL}$$

$$\leq \frac{h^{2}|y''(\xi)|}{2} + \frac{|y_{n-1} - u_{n-1}|}{1 - hL}$$
(24)

Con ragionamenti simili a quelli utilizzati per mostrare la convergenza di Eulero esplicito, abbiamo per h piccolo che s=1/(1-hL)>1, posto  $\tau(h)=\max_n |\tau_n(h)|$ 

$$|e_{n}| \leq h|\tau_{n}(h)| + s|e_{n-1}| \leq sh|\tau_{n}(h)| + s|e_{n-1}|$$

$$\leq sh|\tau_{n}(h)| + s(sh|\tau_{n-1}(h)| + s|e_{n-2}|)$$

$$\leq \dots$$

$$\leq h\sum_{k=1}^{n} s^{k}|\tau_{n-k+1}(h)| + s^{n}|e_{0}|$$

$$\leq h(\sum_{k=1}^{n} s^{k})|\tau(h)| + s^{n}|e_{0}|$$
(25)

# Analisi convergenza Eulero implicito, caso Lipschitziano

Notiamo che se hL < 1 allora s = 1/(1 - hL) > 1 e che

$$\sum_{k=1}^{n} s^k = \frac{s^{n+1} - 1}{s - 1} \le \frac{s^{n+1}}{s - 1}$$

Ora

$$s - 1 = \frac{1}{1 - hL} - 1 = \frac{hL}{1 - hL} > 0 \tag{26}$$

e da  $(1+x)^k \le \exp(kx)$  per x > 0, abbiamo

$$s^{n+1} = (1 + (s-1))^{n+1} \le \exp((n+1)(s-1))$$

$$= \exp(\frac{hL(n+1)}{1 - hL}) = \exp(\frac{L(x_{n+1} - x_0)}{1 - hL})$$
(27)

e quindi

$$\sum_{k=1}^{n} s^{k} \leq \frac{\left(1 - hL\right) \exp\left(\frac{L\left(x_{n+1} - x_{0}\right)}{1 - hL}\right)}{hL}$$

Alvise Sommariva

# Analisi convergenza Eulero implicito, caso Lipschitziano

#### Così ricapitolando

$$|e_n| \le h(\sum_{k=1}^n s^k)|\tau(h)| + s^n|e_0|,$$

$$\sum_{k=1}^n s^k \le \frac{(1-hL)\exp(\frac{L(x_{n+1}-x_0)}{1-hL})}{hL}$$

$$s^n \le \exp(\frac{L(x_n-x_0)}{1-hL}),$$

implica finalmente

$$|e_n| \le h \frac{(1 - hL) \exp(\frac{L(x_{n+1} - x_0)}{1 - hL})}{hL} |\tau(h)| + \exp(\frac{L(x_n - x_0)}{1 - hL}) |e_0|.$$

Alvise Sommariva

Introduzione

38/80

# Analisi convergenza Eulero implicito, caso Lipschitziano

Se 
$$\|y''\| \le M$$
 e  $x_{\mathsf{fin}} = x_0 + Nh$ ,  $|e_0| \to 0$  per  $h \to 0$  abbiamo

$$|e_{n}| \leq h \frac{(1 - hL) \exp(\frac{L(x_{n+1} - x_{0})}{1 - hL})}{hL} |\tau(h)| + \exp(\frac{L(x_{n} - x_{0})}{1 - hL}) |e_{0}|$$

$$\leq h \frac{(1 - hL) \exp(\frac{L(x_{n+1} - x_{0})}{1 - hL})}{hL} \frac{Mh}{2} + \exp(\frac{L(x_{fin} - x_{0})}{1 - hL}) |e_{0}|$$

$$\leq \frac{(1 - hL) \exp(\frac{L(x_{n+1} - x_{0})}{1 - hL})}{L} \frac{Mh}{2} + \exp(\frac{L(x_{fin} - x_{0})}{1 - hL}) |e_{0}|$$

e quindi  $|e_n| \to 0$  per  $h \to 0$ , cioè Eulero implicito è convergente.

#### Metodo di Crank-Nicolson

Supponiamo di dover risolvere il problema di Cauchy

$$\begin{cases} y'(x) = f(x, y(x)), & x \ge x_0 \\ y(x_0) = y_0 \end{cases}$$
 (28)

Osserviamo che se  $x_{n+1}=x_0+nh$  allora ricordando la formula del trapezio per il calcolo di integrali

$$y(x_{n+1}) = y(x_n) + \int_{x_n}^{x_{n+1}} y'(x) dx$$

$$\approx y(x_n) + (h/2)(y'(x_{n+1}) + y'(x_n))$$

$$= y(x_n) + (h/2)(f(x_n, y(x_n)) + f(x_{n+1}, y(x_{n+1}))).$$

#### Nota.

Utilizzando rispettivamente le formule dei rettangoli,

$$\int_a^b g(x)dx \approx (b-a)g(a), \quad \int_a^b g(x)dx \approx (b-a)g(b)$$

si possono ottenere similmente i metodi di Eulero esplicito e implicito.

Alvise Sommariva

Introduzione

40 / 80

#### Metodo di Crank-Nicolson

#### Essendo

$$y(x_{n+1}) \approx y(x_n) + (h/2)(f(x_n, y(x_n)) + f(x_{n+1}, y(x_{n+1})))$$
 (29)

si introduce il metodo di Crank-Nicolson (1947):

#### Metodo (Crank-Nicolson o dei trapezi )

Tale metodo consiste nell'approssimare  $y(x_{n+1})$  con  $u_{n+1}$  dove

$$u_{n+1} = u_n + (h/2)(f(t_n, u_n) + f(t_{n+1}, u_{n+1}))$$
 (30)

 $con u_0 = y_0.$ 

Si osservi che ad ogni iterazione, essendo il metodo implicito, bisogna risolvere una equazione nonlineare.

#### A-stabilità

Nell'ambito delle equazioni differenziali ordinarie, esistono vari criteri di stabilità. Un classico problema è quello di vedere se un metodo è assolutamente stabile (spesso *A*-stabile). Definito il problema di Cauchy

$$\begin{cases} y'(x) = \lambda y(x), & x \ge 0 \\ y(0) = 1 \end{cases}$$
 (31)

per un certo  $\lambda \in \mathbb{C}$  con  $\Re(\lambda) < 0$ , visto che l'unica soluzione è  $y(x) = \exp(\lambda x)$  si cerca di definire il passo h cosicchè il metodo numerico per la soluzione del problema di Cauchy (1) abbia lo stesso comportamento asintotico di  $\exp(\lambda x)$ .

La regione di assoluta stabilità è composta dagli  $h\lambda$ , per cui il metodo numerico con passo h è tale da avere lo stesso comportamento asintotico del problema di Cauchy (31) relativo al parametro  $\lambda$  (con  $\Re(\lambda) < 0$ ).

Alvise Sommariva

Introduzione

42/80

### A-stabilità. Una nota.

#### Nota. (Dahlquist, 1979)

I didnt like all these strong, perfect, absolute, generalized, super, hyper, complete and so on in mathematical definitions, I wanted something neutral; and having been impressed by David Young's property A, I chose the term A-stable.

### A-stabilità. Una nota.

#### Nota.

Stabilire la stabilità per il problema di Cauchy

$$\begin{cases} y'(x) = f(x, y(x)), & x \ge 0 \\ y(x_0) = y_0 \end{cases}$$
 (32)

è in generale complicato. Se invece consideriamo

$$\begin{cases} y'(x) = \lambda y(x) + g(x), & x \ge 0 \\ y(0) = y_0 \end{cases}$$
 (33)

la questione è più semplice. Ricordiamo che la soluzione di (33) è

$$y(x) = c \cdot \exp(\lambda x) + \int_0^x \exp(\lambda(x-t))g(t)dt$$

con

$$c = y_0$$

(cf. [1, p.369]).

## A-stabilità. Una nota.

Sia y la soluzione di

$$\begin{cases} y'(x) = \lambda y(x) + g(x), & x \ge 0 \\ y(0) = y_0 \end{cases}$$
 (34)

e y<sub>€</sub> quella di

$$\begin{cases} y'(x) = \lambda y(x) + g(x), & x \ge 0 \\ y(0) = y_0 + \epsilon \end{cases}$$
 (35)

Posto  $z_{\epsilon} = y_{\epsilon} - y_{\epsilon}$ , da (34), (36),

$$\begin{cases} z'_{\epsilon}(x) = \lambda z_{\epsilon}(x), \ x \ge 0\\ y(0) = \epsilon \end{cases}$$
 (36)

la cui soluzione è  $z_{\epsilon} = \epsilon \cdot \exp(\lambda x)$ .

Di solito nelle applicazioni ci si interessa al caso  $\lambda < 0$  o complesso con parte reale negativa. In questi casi  $z_{\epsilon} \to 0$  per  $n \to \infty$  e quindi l'effetto delle perturbazioni si annulla per valori grandi di x.

Si desidera che il metodo numerico goda delle stesse proprietà e la risposta la si ha nuovamente dallo studio della regione di stabilità.

> Introduzione 45/80

# Assoluta stabilità: Eulero esplicito

#### Definizione (Problema stiff (Curtiss-Hirschfelder, 1952))

Un problema di Cauchy

$$\begin{cases} y'(x) = \lambda y(x), & x \ge 0 \\ y(0) = 1. \end{cases}$$
 (37)

si dice stiff, quando  $\Re(\lambda) \ll 0$  (cioè  $\Re(\lambda)$  è molto grande in valore assoluto).

### Assoluta stabilità

Ricordiamo a tal proposito che dalla formula di Eulero, se  $z=a+ib=\Re(z)+\Im(z)$  allora

$$\exp(z) = \exp(a) \cdot (\cos(b) + i\sin(b)).$$

Quindi se  $\Re(\lambda) < 0$ , visto che  $|\cos(\Im(\lambda x)) + i\sin(\Im(\lambda x))| = 1$  e x > 0 abbiamo

$$|\exp(\lambda x)| = |\exp(\Re(\lambda x))||\cos(\Im(\lambda x)) + i\sin((\Im(\lambda x)))|$$
  
=  $|\exp(\Re(\lambda x))| \to 0$ , per  $x \to \infty$ .

Visto il comportamento asintotico di exp $(\lambda x)$ , se  $u_n$  è l'approssimazione della soluzione in  $x_n = x_0 + nh$  fornita da un metodo numerico a passo h, si desidera sia  $u_n \to 0$  per  $n \to +\infty$ .

## A-stabilità: Eulero esplicito

Nel caso del metodo di Eulero esplicito,

$$u_n = u_{n-1} + hf(x_{n-1}, u_{n-1}) = (1 + h\lambda)u_{n-1}, \ u_0 = 1.$$

Si verifica facilmente che questa equazione alle differenze (di ordine 1) ha quale unica soluzione

$$u_n = (1 + h\lambda)^n$$

e che

$$u_n \to 0$$
 se e solo se  $|1 + h\lambda| < 1$ 

il che significa che  $h\lambda$  deve stare nel disco del piano complesso di centro -1 e raggio 1.

# A-stabilità: Eulero esplicito

Di conseguenza, fissato  $\lambda$ , il metodo risulta stabile se e solo se si sceglie un passo sufficientemente piccolo, cioè minore di  $1/|\lambda|$ .

Nel caso di problemi stiff, cioè con  $\Re(\lambda) \ll 0$ , si deve scegliere un passo h molto piccolo affinchè la soluzione di Eulero esplicito tenda a 0.

# Regione di assoluta stabilità di Eulero esplicito

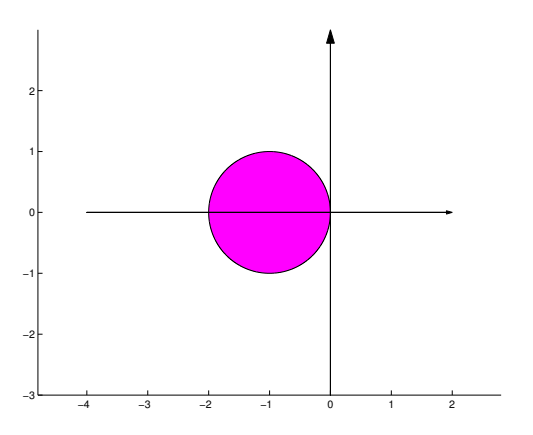


Figura: In magenta: regione di assoluta stabilità di Eulero esplicito: disco unitario centrato in (-1,0).

Alvise Sommariva

# A-stabilità: Eulero implicito

Nel caso del metodo di Eulero implicito,

$$u_n = u_{n-1} + hf(x_n, u_n) = u_{n-1} + h\lambda u_n, \ u_0 = 1.$$

Portando a primo membro  $h\lambda u_n$ , dividendo i membri per  $1-h\lambda$ 

$$u_n=\frac{u_{n-1}}{1-h\lambda}.$$

Si verifica, ragionando per induzione, che

$$u_n = \frac{1}{(1-h\lambda)^n}$$

e quindi che

$$u_n o 0$$
 se e solo se  $\dfrac{1}{|1-h\lambda|} < 1.$ 

# A-stabilità: Eulero implicito

Essendo  $\Re(\lambda) < 0$ , si vede facilmente che  $|\frac{1}{1-h\lambda}| < 1$  per qualsiasi h. Infatti,  $h\lambda = a + ib$  con a < 0, ciò è vero se e solo se

$$\frac{1}{|1-h\lambda|}<1 \Leftrightarrow 1<|1-h\lambda|=\sqrt{(1-a)^2+b^2}$$

ovvero, elevando ai quadrati entrambi i membri, se e solo se

$$1 < (1-a)^2 + b^2$$

ovviamente verificata in quanto a < 0,  $a, b \in \mathbb{R}$ . La regione di ass. stabilità è tutto il semipiano negativo  $\Re(h\lambda) < 0$ .

#### Nota.

Questa proprietà suggerisce di applicare Eulero implicito invece di Eulero esplicito per risolvere numericamente un problema di Cauchy di tipo stiff.

# Regione di assoluta stabilità di Eulero implicito

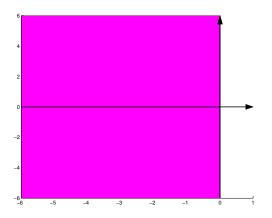


Figura: In magenta: regione di assoluta stabilità di Eulero implicito, semipiano negativo  $\Re(h\lambda) < 0$ .

Alvise Sommariva

### A-stabilità: metodo di Crank-Nicolson

Nel caso del metodo di Crank-Nicolson, da  $f(x, y) = \lambda y$ 

$$u_n = u_{n-1} + (h/2)(f(x_n, u_n) + f(x_{n-1}, u_{n-1}))$$
  
=  $u_{n-1} + (h/2)\lambda(u_n + u_{n-1}), u_0 = 1$  (38)

Quindi,

$$(1-\frac{h\lambda}{2})u_n=u_{n-1}+\frac{h\lambda}{2}u_n$$

cioè

$$\frac{2-h\lambda}{2}\cdot u_n=\frac{2+h\lambda}{2}\cdot u_{n-1}$$

e di conseguenza

$$u_n = \frac{2 + h\lambda}{2 - h\lambda} u_{n-1}$$

## A-stabilità: metodo di Crank-Nicolson

Da

$$u_n = \frac{2 + h\lambda}{2 - h\lambda} u_{n-1}$$

si verifica facilmente che questa equazione alle differenze ha quale unica soluzione

$$u_n = \frac{(2+h\lambda)^n}{(2-h\lambda)^n}$$

e che

$$u_n \to 0$$
 se e solo se  $\frac{|2+h\lambda|}{|2-h\lambda|} < 1$ .

Da 
$$\Re(\lambda) < 0$$
,  $|\frac{2+h\lambda}{2-h\lambda}| < 1$  per  $h > 0$ . Infatti, se  $h\lambda = a+ib$ ,  $a < 0$   $\frac{|2+h\lambda|}{|2-h\lambda|} = \frac{|2+(a+ib)|}{|2-(a+ib)|} = \frac{|(2+a)+ib|}{|(2-a)+ib|} = \frac{\sqrt{(2+a)^2+b^2}}{\sqrt{(2-a)^2+b^2}} < 1$ 

in quanto  $(2+a)^2 < (2-a)^2$ , qualora a < 0.

# Regione di assoluta stabilità di Crank-Nicolson

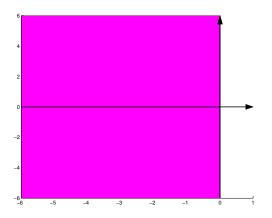


Figura: In magenta: regione di assoluta stabilità di Crank-Nicolson, semipiano negativo  $\Re(h\lambda) < 0$ .

Alvise Sommariva

# Metodi linear multistep (LM)

Posto h > 0,  $x_n = x_0 + nh$ , un metodo linear multistep è del tipo

$$u_{n+1} = \sum_{j=0}^{p} a_j u_{n-j} + h \sum_{j=-1}^{p} b_j f(x_{n-j}, u_{n-j}), \quad n = p, p+1, \dots$$
 (39)

noti i valori  $u_k \approx y(x_k)$  per k < p e supposto  $a_p, b_p \neq 0$ .

#### Nota.

Non è difficile vedere che

- Eulero esplicito  $(a_0 = 1, b_0 = 1)$ ,
- Eulero implicito  $(a_0 = 1, b_{-1} = 1),$
- Crank-Nicolson ( $a_0 = 1$ ,  $b_{-1} = 1/2$ ,  $b_0 = 1/2$ )

sono metodi che hanno questa struttura.

Introduzione

# Metodi linear multistep

Da

$$y'(x) = f(x, y(x)),$$

$$y(x_{n+1}) = y(x_{n-m}) + \int_{x_{n-m}}^{x_{n+1}} y'(x) dx$$

ricaviamo che

$$y(x_{n+1}) = y(x_{n-m}) + \int_{x_{n-m}}^{x_{n+1}} y'(x) dx = y(x_{n-m}) + \int_{x_{n-m}}^{x_{n+1}} f(x, y(x)) dx.$$

Se il metodo è

■ implicito si suppongono note la approssimazioni  $u_{n+1} \approx y(x_{n+1}), \ldots, u_{n+1-p} \approx y(x_{n+1-p})$  e quindi le coppie

$$(x_{n+1}, f(x_{n+1}, u_{n+1})), \ldots, (x_{n+1-p}, f(x_{n+1}, u_{n+1-p}))$$

esplicito si suppongono note la approssimazioni  $u_n \approx y(x_n), \ldots, u_{n-p+1} \approx y(x_{n-p+1})$  e quindi le coppie

$$(x_n, f(x_n, u_{n+1})), \ldots, (x_{n+1-p}, f(x_{n+1}, u_{n+1-p}))$$

# Metodi linear multistep

Allora se  $\mathcal{P}_p(x) = \sum_k f_{n-k} L_k(x)$  è il polinomio che interpola le coppie

- $(x_{n+1}, f(x_{n+1}, u_{n+1})), \dots, (x_{n+1-p}, f(x_{n+1}, u_{n+1-p}))$ , se il metodo è implicito,
- $(x_n, f(x_n, u_{n+1})), \dots, (x_{n+1-p}, f(x_{n+1}, u_{n+1-p})), \text{ se il metodo è esplicito},$

nella forma di Lagrange, si ha

$$y(x_{n+1}) \approx y(x_{n-m}) + \int_{x_{n-m}}^{x_{n+1}} \mathcal{P}_{\rho}(x) dx = y(x_{n-m}) + \sum_{k} f_{n-k} \int_{x_{n-m}}^{x_{n+1}} L_{k}(x) dx$$

e quindi facilmente un metodo via quadratura numerica dell'integrale.

# Metodi linear multistep: Adams

Scegliendo i nodi  $\{x_n\}$  equispaziati,

- se m = 0,  $\gamma = 0$  si hanno metodi espliciti (Adams-Bashforth, (1883));
- se m = 0,  $\gamma = 1$  si hanno metodi impliciti (Adams-Moulton, (1926)).

#### Nota.

- Nel caso  $m=p-\gamma$  in particolare, la formula di integrazione è in realtá quella ben nota di tipo Newton-Cotes (chiusa o aperta a seconda  $\gamma=-1$  o  $\gamma=0$ ).
- Si osservi che altri metodi di tipo linear multistep sono ottenibili per altre scelte di m e  $\gamma$ . Esempi sono per n  $\geq 1$ 
  - metodo del punto medio:  $u_{n+1} = u_{n-1} + 2hf_n$ ,
  - metodo di Milne:  $u_{n+1} = u_{n-1} + (h/3)[f_{n-1} + 4f_n + f_{n+1}].$
- Con un approccio diverso si possono ottenere i metodi LM di tipo BDF ove  $u_{n+1} = \sum_{j=0}^{p} a_j u_{n-j} + hb_{-1} f_{n+1}$ .

# Esempi LM: Adams-Bashforth

- Adams-Bashforth (p=0):  $u_{n+1} = u_n + hf_n$ ,  $\tau_{n+1} = (h/2)y^{(2)}(\xi_n)$ .
- Adams-Bashforth (p=1):  $u_{n+1} = u_n + \frac{h}{2}(3f_n f_{n-1}),$  $\tau_{n+1} = (5h^2/12)y^{(3)}(\xi_n).$
- Adams-Bashforth (p=2):  $u_{n+1} = u_n + \frac{h}{12}(23f_n 16f_{n-1} + 5f_{n-2}),$  $\tau_{n+1} = (3h^3/8)y^{(4)}(\xi_n).$
- Adams-Bashforth (p=3):  $u_{n+1} = u_n + \frac{h}{24} (55f_n 59f_{n-1} + 37f_{n-2} 9f_{n-3}),$  $\tau_{n+1} = (251h^4/720)y^{(5)}(\xi_n).$
- Adams-Bashforth (p=4):  $u_{n+1} = u_n + \frac{h}{720}(1901f_n 2774f_{n-1} + 2616f_{n-2} 1274f_{n-3} + 251f_{n-4}),$   $\tau_{n+1} = (95h^5/2888)y^{(5)}(\xi_n).$

dove  $\tau_{n+1}$  è l'errore locale di troncamento

#### Nota.

Si noti che sono effettivamente metodi espliciti a p+1 passi.

## Esempi LM: Adams-Moulton

- Adams-Moulton (p=0):  $u_{n+1} = u_n + hf_{n+1}$ ,  $\tau_{n+1} = (-h/2)y^{(2)}(\xi_n)$ .
- Adams-Moulton (p=1):  $u_{n+1} = u_n + \frac{h}{2}(f_{n+1} + f_n)$ ,  $\tau_{n+1} = (-h^2/12)y^{(3)}(\xi_n)$ .
- Adams-Moulton (p=2):  $u_{n+1} = u_n + \frac{h}{12} (5f_{n+1} + 8f_n f_{n-1}),$  $\tau_{n+1} = (-h^3/24)y^{(4)}(\xi_n).$
- Adams-Moulton (p=3):  $u_{n+1} = u_n + \frac{h}{24}(9f_{n+1} + 19f_n 5f_{n-1} + f_{n-2}),$  $\tau_{n+1} = (-19h^4/720)y^{(5)}(\xi_n).$
- Adams-Moulton (p=4):  $u_{n+1} = u_n + \frac{h}{720} (251f_{n+1} + 646f_n 264f_{n-1} + 106f_{n-2} 19f_{n-3}),$   $\tau_{n+1} = (-3h^5/160)y^{(6)}(\xi_n).$

#### Nota.

Si noti che sono effettivamente metodi impliciti a p passi.

### Consistenza LM

#### Teorema ([5, p.437])

Un metodo linear multistep

è consistente se e solo se

$$\sum_{j=0}^{p} a_j = 1, \quad -\sum_{j=0}^{p} j a_j + \sum_{j=-1}^{p} b_j = 1,$$

■ se  $y \in C^{q+1}$  per  $q \ge 1$ , ha ordine di consistenza q se e solo se è consistente e

$$\sum_{j=0}^{p} (-j)^{i} a_{j} + i \sum_{j=-1}^{p} (-j)^{i-1} b_{j} = 1, i = 2, \dots, q.$$

#### Nota.

Si verifica che i metodi di Eulero Esplicito, Eulero Implicito, Crank-Nicolson, sono consistenti. Inoltre, quest'ultimo è almeno del second'ordine poichè  $a_0=1,\ b_{-1}=1/2,\ b_0=1/2\ e\ per\ i=2\ si\ ha$   $\sum_{i=0}^p (-j)^i a_i + 2\sum_{i=-1}^p (-j)^{2-1} b_i = 0 + 2(b_{-1}+0) = 1.$ 

## Convergenza LM

#### Teorema (Convergenza LM (cf.[1, p.116]))

Si supponga che

i dati iniziali siano calcolati in modo che

$$\eta(h) = \max_{i=0,\ldots,p} |y(x_i) - u_i| \to 0, \quad per \ h \to 0;$$

- il metodo sia consistente;
- $a_j \geq 0, \quad j = 0, \ldots, p;$
- il passo di discretizzazione h sia tale che  $h \le 1/(2c)$ , dove  $c = L \sum_{j=-1}^{p} |b_j|$  e L è la costante di Lipschitz di f.

Allora il metodo LM converge ed inoltre esistono  $C_1$ ,  $C_2$  positive tali che per ogni n $|v(x_n) - u_n| < C_1 n(h) + C_2 \tau(h).$ 

Se la soluzione è m+1 volte derivabile con continuità, il metodo ha ordine di consistenza m e gli errori iniziali soddisfano  $\eta(h)=O(h^m)$  allora il metodo è di ordine m

Alvise Sommariva

Introduzione

64/80

## Convergenza LM

#### Nota.

Nelle ipotesi del teorema precedente, per ricavare la convergenza chiedavamo:

i dati iniziali siano calcolati in modo che

$$\eta(h) = \max_{i=0,\ldots,p} |y(x_i) - u_i| \to 0, \quad per \ h \to 0;$$

- il metodo sia consistente;
- $a_j \geq 0, \quad j = 0, \ldots, p_j$
- il passo di discretizzazione h sia tale che  $h \le 1/(2c)$ , dove  $c = L \sum_{j=-1}^{p} |b_j|$  e L è la costante di Lipschitz di f.
- 1. Se prendiamo un metodo di Adams-Bashforth o Adams-Moulton di quelli esposti, sono tutti consistenti con ordine p+1. Inoltre  $a_0=1, a_1=0, \ldots, a_p=0$ . Di conseguenza tutti i metodi esposti sono convergenti.
- 2. Se la soluzione è p+2 volte derivabile con continuità, il metodo ha ordine di consistenza p+1 e gli errori iniziali soddisfano  $\eta(h)=O(h^m)$  allora il metodo è di ordine p+1.

## Convergenza LM

In particolare, nelle ipotesi richieste,

- il metodo di Eulero esplicito, avendo ordine di consistenza 1, è convergente con ordine di convergenza 1;
- il metodo di Eulero implicito, avendo ordine di consistenza 1, è convergente con ordine di convergenza 1;
- il metodo di Crank-Nicolson, avendo ordine di consistenza 2, è convergente con ordine di convergenza 2.

#### Barriere LM

#### Definizione

Un metodo numerico è detto A-stabile se la sua regione di stabilità assoluta contiene tutto il semipiano negativo.

Valgono le seguenti barriere di stabilità (Dahlquist, 1963)

#### Teorema

Nessun metodo LM esplicito è A-stabile.

#### Teorema

Nessun metodo LM implicito di ordine maggiore di 2 è A-stabile.

#### Facoltativo: Predictor-corrector

In generale un metodo LM implicito ha proprietà di stabilità migliori rispetto ad un LM esplicito e questo ne suggerisce l'utilizzo.

Purtroppo ad ogni iterazione bisogna risolvere una equazione nonlineare.

Un approccio comunemente utilizzato è quello del predictor-corrector. Consiste nell'utilizzare il metodo di punto fisso con una certa scelta del punto iniziale.

Nel caso di un metodo di Adams implicito (detto corrector), si utilizza ad esempio un metodo di Adams esplicito (detto predictor).

# Facoltativo: Esempio Predictor-corrector

Consideriamo i seguenti metodi di Adams (porremo  $f_i = f(x_i, u_i)$ ).

Predictor: 
$$u_{i+1} = u_i + \frac{h}{2}(3f_i - f_{i-1})$$

Corrector: 
$$u_{i+1} = u_i + \frac{h}{2}(f_{i+1} + f_i)$$
.

Posto 
$$f_i^{(\eta)} = f(x_i, u_i^{(\eta)})$$
 abbiamo

P: 
$$u_{i+1}^{(0)} = u_i^{(1)} + \frac{h}{2} (3f_i^{(1)} - f_{i-1}^{(1)})$$

E: 
$$f_{i+1}^{(0)} = f(x_{i+1}, u_{i+1}^{(0)})$$

C: 
$$u_{i+1}^{(1)} = u_i^{(1)} + \frac{h}{2} (f_{i+1}^{(0)} + f_i^{(1)})$$

E: 
$$f_{i+1}^{(1)} = f(x_{i+1}, u_{i+1}^{(1)})$$

Consideriamo un metodo numerico, che diremo di Runge-Kutta, che definisca una sequenza  $u_n$  t.c.

$$y(x_{n+1}) \approx u_{n+1} = u_n + hF(x_n, u_n; h)$$

con

$$F(x, y; h) = \gamma_1 f(x, y) + \gamma_2 f(x + \alpha h, y + \beta h f(x, y)).$$

Determiniamo i parametri  $\gamma_1$ ,  $\gamma_2$ ,  $\alpha$ ,  $\beta$  così da ottenere un metodo del second'ordine cioè

$$\tau(h) = \max_{n} (\tau_n(h)) = O(h^2)$$

dove

$$\tau_n(h) = \frac{y(x_n) - \overline{u}_n}{h}, \ \overline{u}_{n+1} = y_n + hF(x_n, y_n; h).$$

Per ottenere questo risultato usiamo la formula di Taylor bivariata. Denotate con  $f'_x$ ,  $f'_y$  le derivate parziali rispetto al primo e secondo argomento di f, abbiamo

$$f(x_n + \alpha h, y_n + \beta h f(x_n, y_n)) = f(x_n, y_n) + \alpha h f'_x(x_n, y_n) + \beta h f'_y(x_n, y_n) f(x_n, y_n) + O(h^2).$$

e quindi

$$F(x_{n}, y_{n}; h) = \gamma_{1}f(x_{n}, y_{n}) + \gamma_{2}f(x_{n} + \alpha h, y_{n} + \beta hf(x_{n}, y_{n}))$$

$$= \gamma_{1}f(x_{n}, y_{n}) + \gamma_{2}(f(x_{n}, y_{n}) + \alpha hf'_{x}(x_{n}, y_{n}) + \beta hf'_{y}(x_{n}, y_{n})f(x_{n}, y_{n}))$$

$$+ O(h^{2}).$$
(40)

Facilmente, dalla formula di Taylor

$$y_{n+1} = y_n + hy^{(1)}(x_n) + (h^2/2)y^{(2)}(x_n) + O(h^3)$$
  
=  $y_n + hf(x_n, y_n) + (h^2/2)(f'_x(x_n, y_n) + f'_y(x_n, y_n)f(x_n, y_n)) + O(h^3)$ 

Ma è pure

$$\overline{u}_{n+1} = y_n + hF(x_n, y_n; h) = y_n + h(\gamma_1 f(x_n, y_n) + \gamma_2 (f(x_n, y_n) + \alpha h f'_x(x_n, y_n) + \beta h f'_y(x_n, y_n) f(x_n, y_n))) + O(h^3)$$

$$= y_n + h(\gamma_1 + \gamma_2) f(x_n, y_n) + h^2 \gamma_2 (\alpha f'_x(x_n, y_n) + \beta f'_y(x_n, y_n) f(x_n, y_n)))$$

$$+ O(h^3)$$

e quindi affinchè  $y_{n+1} - \overline{u}_{n+1} = O(h^3)$ , per confronto, basta richiedere

$$\gamma_1 + \gamma_2 = 1, \gamma_2 \alpha = 1/2, \gamma_2 \beta = 1/2.$$

Vediamo alcuni metodi in cui

$$\gamma_1 + \gamma_2 = 1, \ \gamma_2 \alpha = 1/2, \ \gamma_2 \beta = 1/2.$$

Metodo di Heun ( $\alpha = 1$ ), (scoperto nel 1900):

$$u_{n+1} = u_n + \frac{h}{2}(f(x_n, u_n) + f(x_n + h, u_n + hf(x_n, u_n))).$$

Metodo di Eulero modificato ( $\alpha = 1/2$ ):

$$u_{n+1} = u_n + hf(x_n + \frac{h}{2}, u_n + \frac{h}{2}f(x_n, u_n)).$$

Alvise Sommariva

La scelta particolare di un maggior numero di vincoli permette, con qualche fatica, di calcolare un metodo di ordine 4 (scoperto da Kutta nel 1901). Posto

$$u_{n+1} = u_n + h \cdot \frac{f_1 + 2f_2 + 2f_3 + f_4}{6}$$

ove

$$f_{1} = f(t_{n}, u_{n})$$

$$f_{2} = f(t_{n} + \frac{h}{2}, u_{n} + \frac{h \cdot f_{1}}{2})$$

$$f_{3} = f(t_{n} + \frac{h}{2}, u_{n} + \frac{h}{2}f_{2})$$

$$f_{4} = f(t_{n} + h, u_{n} + h \cdot f_{3})$$
(41)

si ottiene un metodo del quart'ordine.

#### Parte facoltativa

Gli argomenti che seguono sono facoltativi. Servono solo a dare una immagine più completa sul tema dell'analisi numerica per la risoluzione di problemi di Cauchy.

Se f non è L-Lipschitziana ma è L-dissipativa, cioè

$$-L \leq \frac{\partial f}{\partial y}(\xi) \leq 0, \quad \xi \in \Omega := (x_0, x_{\mathsf{fin}}) \times \mathbb{R}$$

abbiamo da

$$\overline{u}_n = y(x_{n-1}) + h \cdot f(x_{n-1}, y(x_{n-1})),$$

$$u_n = u_{n-1} + h \cdot f(x_{n-1}, u_{n-1}),$$

$$f(x_{n-1}, u_{n-1}) = f(x_{n-1}, y(x_{n-1})) + \frac{\partial f}{\partial y}(\xi)(u_{n-1} - y(x_{n-1})),$$

che per qualche 
$$\xi \in (x_{n-1},x_n) \times \mathbb{R} \subseteq \Omega$$

$$\begin{array}{rcl}
u_{n} - \overline{u}_{n} & = & (u_{n-1} + h \cdot f(x_{n-1}, u_{n-1})) - (y(x_{n-1}) + h \cdot f(x_{n-1}, y(x_{n-1}))) \\
& = & (u_{n-1} - y(x_{n-1})) + h \cdot (f(x_{n-1}, u_{n-1}) - f(x_{n-1}, y(x_{n-1}))) \\
& = & (u_{n-1} - y(x_{n-1})) + h \frac{\partial f}{\partial y}(\xi)(u_{n-1} - y(x_{n-1})) \\
& = & (1 + h \frac{\partial f}{\partial y}(\xi)) \cdot (u_{n-1} - y(x_{n-1})).
\end{array}$$

Da

$$u_n - \overline{u}_n = (1 + h \frac{\partial f}{\partial y}(\xi)) \cdot (u_{n-1} - y(x_{n-1})). \tag{42}$$

abbiamo che se  $0 < h \le 2/L$  (non restrittivo per mostrare la conv. visto che si studia il comportamento per  $h \to 0$ ) allora da  $-L \le \frac{\partial f}{\partial \nu} \le 0$ ,

$$-1 = 1 - 2L/L \le 1 - hL \le 1 + h\frac{\partial f}{\partial y}(\xi) \le 1$$

e quindi  $|1+h\frac{\partial f}{\partial y}(\xi)|\leq 1$  da cui

$$|u_{n} - \overline{u}_{n}| = |1 + h \frac{\partial f}{\partial y}(\xi)| \cdot |u_{n-1} - y(x_{n-1})|$$

$$\leq |u_{n-1} - y(x_{n-1})| = |e_{n-1}|. \tag{43}$$

Da

$$\bullet$$
  $e_n := y(x_n) - u_n$ 

$$|y(x_n) - \overline{u}_n| < h|\tau(h)|,$$

$$|\overline{u}_n - u_n| \leq |e_{n-1}|,$$

$$|e_n| \le h\tau(h) + |\overline{u}_n - u_n| \le h|\tau(h)| + |e_{n-1}|$$

ricaviamo, essendo h| au(h)|>0,  $e_0=0$ ,  $n\leq N$ ,  $Nh=x_{\mbox{fin}}-x_0$ 

$$\begin{aligned} |\overline{u}_{n} - u_{n}| & \leq |e_{n-1}| \leq h|\tau(h)| + |e_{n-1}| \\ & \leq h|\tau(h)| + (h|\tau(h)| + |e_{n-2}|) \\ & = 2h|\tau(h)| + |e_{n-2}| \\ & \leq 2h|\tau(h)| + (h|\tau(h)| + |e_{n-3}|) \\ & = 3h|\tau(h)| + |e_{n-3}| \leq \dots \\ & \leq nh|\tau(h)| + |e_{0}| = nh|\tau(h)| \\ & \leq Nh|\tau(h)| = (x_{\text{fin}} - x_{0})|\tau(h)| \leq \frac{(x_{\text{fin}} - x_{0})Mh}{2} \end{aligned}$$

Di conseguenza, visto che  $(x_{fin} - x_0)$  non dipende da n, essendo per ogni n

$$|\overline{u}_n - u_n| \leq \frac{(x_{\mathsf{fin}} - x_0)Mh}{2}$$

abbiamo

$$\|u^{(h)}-\overline{u}^{(h)}\|_{\infty}=\max_{n}|u_{n}-\overline{u}_{n}|\leq \frac{(x_{\text{fin}}-x_{0})Mh}{2}.$$

Posto  $C_2^*(h) = (x_{fin} - x_0)Mh/2$  abbiamo che

$$||u^{(h)}-\overline{u}^{(h)}||_{\infty}\leq C_2^*(h)$$

con  $C_2^*(h) \to 0$  qualora  $h \to 0$  e quindi il metodo di Eulero esplicito, è convergente anche nel caso in cui f sia L-dissipativa.

## Bibliografia



K. Atkinson e W. Han, Elementary Numerical Analysis, Wiley, (2004).



K.E. Atkinson, W. Han, D.E. Steward Numerical Solution of Ordinary Differential Equations, Wiley, (2009).



V. Comincioli, Analisi Numerica, metodi modelli applicazioni, Mc Graw-Hill, 1990.



W. Gautschi, Numerical Analysis, Birkhaüser, second edition, 2012.



A. Quarteroni, F. Saleri Introduzione al Calcolo Scientifico, Springer, (2002).



E. Süli, D. Mayers An Introduction to Numerical Analysis, Cambridge University Press, (2003).